

4.2.2 Unterschwellenstrom

$$I_D = \frac{\beta x_c q U_T n_i^2}{C_{IS} N_A} \exp\left(\frac{\phi_s}{U_T}\right) \left(1 - \exp\left(-\frac{U_D}{U_T}\right)\right)$$

$$I_D = I_{Th} \exp\left(\frac{U_G - U_{Th}}{n U_T}\right) \quad n = \frac{C_{IS} + C_{HL}}{C_{IS}}$$

$I_a = \text{Drainstrom bei } U_G = U_{Th}$

4.2.3 Substratsteuerfaktor γ

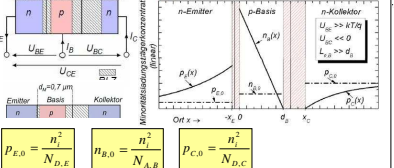
$$Q_{HL,RLZ} = \pm \sqrt{2 \epsilon_0 \epsilon_{HL} q N} \sqrt{2 \phi_B - U_B}$$

$$U_B = \text{Sperrspannung}$$

$$U_{Th} = U_{FB} + 2 \phi_B + \gamma \sqrt{2 \phi_B - U_B}$$

$$\gamma = \frac{1}{N_A} \sqrt{2 \epsilon_0 \epsilon_{HL} q N}$$

5. Bipolartransistoren



$$P_{E,0} = \frac{n^2}{N_{D,E}} \quad n_{B,0} = \frac{n_i^2}{N_{A,B}} \quad P_{C,0} = \frac{n^2}{N_{D,C}}$$

$$\Delta d_B = \Delta x_{p,BC} \quad d_B = l_B - x_{p,BC}$$

5.1 Neutrale Basisweite

5.2 Early-Spannung

Geradengleichung: $J_C = (U_{CE} + U_A) \frac{\Delta J_C}{\Delta U_{CE}} \rightarrow U_A = J_C \frac{\Delta U_{CE}}{\Delta J_C} - U_{CE}$

5.3 Kollektorstrom

$$I_C = \frac{q n^2 A}{Q_B D_{n,B}} \exp\left(\frac{q U_{BE}}{kT}\right) \approx \frac{q D_{n,B} n_i^2 A}{d_B N_{A,B}} \exp\left(\frac{q U_{B,E}}{kT}\right)$$

5.4 Raumladungszone im n-dotierten Kollektor

$$x_{p,BC} = \text{siehe 3.4 mit 3.1}$$

$$x_{n,BC} = I_C \frac{N_{A,B}}{N_{D,C}}$$

$$x_{n,BC} = l_B - d_B$$

5.5 Groß- und Kleinsignalparameter

(Basisschaltung) (Emitterschaltung) (Basisschaltung) (Emitterschaltung)

$$\beta = \frac{I_C}{I_B} = \frac{A}{1+B} \quad \beta = \frac{I_C}{I_B} = \frac{A}{1-A} \quad \alpha = \frac{\partial I_C}{\partial I_E} = \frac{\beta}{1+\beta} \quad \alpha = \frac{\partial I_C}{\partial I_E} = \frac{\alpha}{1-\alpha}$$

5.6 Betriebszustände

Operationsmodus	Emitter/Basis-Übergang	Basis/Kollektor-Übergang	Anwendung
Normalbetrieb	Flußpolung ($U_{GE} > kT/q$)	Sperrpolung ($U_{GC} < 0$)	Analog, Verstärkung
Sättigungsbetrieb	Flußpolung	Flußpolung	Digital, Ein
Cutoff-Betrieb	Sperrpolung	Sperrpolung	Digital, Aus
Inversenbetrieb	Sperrpolung	Flußpolung	(Analog)

5.7 Gummelzahlen

$$Q_B = N_{A,B} d_B \quad \text{flächenbezogene Basis-Gummelzahl}$$

$$Q_E = N_{D,E} L_{p,E} \quad \text{flächenbezogene Emitter-Gummelzahl}$$

5.8 Str-Sp-Beziehungen im Normalbetrieb

$$\bar{I}_E = -A q \left(D_n \frac{dn_p}{dx} \Big|_{x=0} - D_p \frac{dp_n}{dx} \Big|_{x=0} \right) = A q \left(\frac{D_n n_{p0}}{d_B} + \frac{D_p p_{n0}}{L_{p,E}} \right) \exp\left(\frac{q U_{BE}}{kT}\right)$$

$$\bar{I}_C = -A q \left(D_n \frac{dn_p}{dx} \Big|_{x=d_B} - D_p \frac{dp_n}{dx} \Big|_{x=d_B} \right) = A q D_n \frac{n_{p0}}{d_B} \exp\left(\frac{q U_{BE}}{kT}\right)$$

$$\bar{I}_B = \bar{I}_E - \bar{I}_C = \frac{A q D_p p_{n0}}{L_{p,E}} \exp\left(\frac{q U_{BE}}{kT}\right)$$

5.9 Ladungsträgerkonz. am Rand der RLZ

$$p(-x_c) = p_{B,0} \exp\left(\frac{q U_{BE}}{kT}\right) \quad n(0) = n_{B,0} \exp\left(\frac{q U_{BE}}{kT}\right)$$

$$n(d_B) = n_{B,0} \exp\left(\frac{q U_{BC}}{kT}\right) \quad p(x_c) = p_{C,0} \exp\left(\frac{q U_{BC}}{kT}\right)$$

5.10 Gesamtlaufzeit

$$\tau_{IC} = \tau_E + \tau_B + \tau_D + \tau_C = \frac{kT}{q I_C} C_E + \frac{d_B^2}{2 D_{n,B}} + \frac{x_c - d_B}{v_s} + R_C (C_C + C_i)$$

5.11 Laufzeit durch Basis

$$\tau_B = \frac{d_B^2}{2 D_{n,B}}$$

5.12 Grenz-/ Transitfreq.

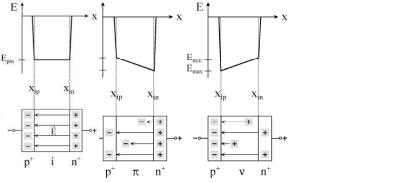
$$f_T = \frac{1}{2 \pi \tau_{IC}}$$

6. Leistungselemente

6.1 Sperrspannung

ideale pin-Struktur $U_{Sp} \approx E_{pin}(x_{in} - x_{ip})$

$$U_{Sp} \approx \frac{1}{2} (E_{max} + E_{min})(x_{in} - x_{ip})$$



6.2 Punchthrough-Spannung

$$|E_{min}|_{|x|=\pi} = |U_{Sperr} - U_{PI}|$$

$$E_p = \frac{2|U_{PI}|}{l_E} \quad l_E = A \epsilon_0 \epsilon_{HL}$$

$$C_{S,min} \text{ aus Graphik in 6.3 ablesen}$$

Für pvn: $l_E = l_n$; $N_A = N_D$

$$\frac{dE}{dx} = q N_{A,x} = \frac{|E_{max}| - |E_{min}|}{l_x}$$

Formel für abrupten Übergang

$$l_x = \sqrt{\frac{2 \epsilon_0 \epsilon_{HL} (U_{Doff} - U_{PI})}{q N_{A,x}}}$$

Für pvn: $l_x = l_n$; $N_A = N_D$

$$l_x = \sqrt{\frac{2 \epsilon_0 \epsilon_{HL} (U_{Doff} - U_{PI}) N_{A,x}}{q N_{D,x} (N_{A,x} + N_{D,x})}}$$

Wenn die Sperrspannung die Punchthrough-Spannung erreicht, bildet sich die RLZ genau über die gesamte π -Schicht aus. Dann gilt: $U_{PI} = U_{Sperr}$

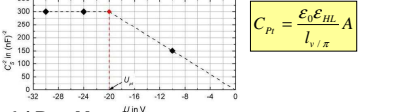
Ab: $U_{Sperr} > U_{PI}$ ändert sich im V/I -Diagramm die Sperrschichtkapazität nicht mehr, da die gesamte „ π -Schicht“ dann näherungsweise der RLZ entspricht.

Bei einer (ideal intrinsischen) pin-Struktur gilt: $U_{PI} = 0V$

z. B. in einer pvn-Struktur gilt für die Werte der π -Schicht:

$$l_x = \sqrt{\frac{2 \epsilon_0 \epsilon_{HL} (U_{Doff} - U_{PI}) N_{A,x}}{q N_{D,x} (N_{A,x} + N_{D,x})}} \quad l_x = \sqrt{\frac{2 \epsilon_0 \epsilon_{HL} (U_{Doff} - U_{PI})}{q N_{D,x} (N_{A,x} + N_{D,x})}} \quad \frac{dE}{dx} = \frac{q N_{D,x}}{\epsilon_0 \epsilon_{HL}} = \frac{|E_{max}| - |E_{min}|}{l_x}$$

6.3 Sperrschichtkapazität bei Pt-Spannung



6.4 Durchbruchspannung

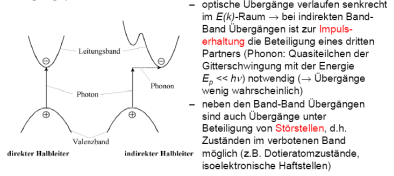
$$U_B = \begin{cases} E_B(x_{in} - x_{ip}) & \text{pin-Struktur} \\ \frac{1}{2} (E_{max} + E_{min})(x_{in} - x_{ip}) & \text{pvn-bzw. pmi-Str.} \end{cases}$$

7. Optoelektronische Bauelemente

Wellenlänge $\lambda = \frac{c}{\nu}$ Energie $E = h \nu = \frac{hc}{\lambda}$ Impuls $p_{PH} = \frac{h}{\lambda}$ k-Wert $k_{PH} = \frac{2\pi}{\lambda}$

Photowiderstand $R(\Phi_{PH}) = \frac{L}{W d (\sigma_0 + \Delta \sigma_{PH})}$ mit $\Delta \sigma_{PH} = q \Delta n (\mu_n + \mu_p)$

Wechselwirkung von Photonen und Halbleiter (Direkte und indirekte Übergänge)



β	Transkondkanz	$A V^{-1}$
γ	Substratsteuerfaktor	\sqrt{V}
μ	Ladungsträgerbeweglichkeit	$cm^2 V^{-1} s^{-1}$
ρ	Raumladungsdichte	$C cm^{-3}$
σ	Spez. Leitfähigkeit	$S cm^{-1}$
τ	Lebensdauer	s
ϕ	Potential	V
ϕ_B	Oberflächenpotential	V
ϕ_B	Bulk-Potential	V
$q\phi$	Austrittsarbeit	eV
$q\psi$	Elektronenaffinität	eV
C	Kapazität	$F = As/V$
D	Diffusionskoeffizient	$cm^2 s^{-1}$
E	Elektr. Feldstärke	$V m^{-1}$
E	Energie	eV
f(E)	Fermi-Verteilungsfunktion	
$F_{th}(E)$	Boltzmann-Verteilungsfunktion	
G	Generationsrate	$cm^{-3} s^{-1}$
j	Stromdichte	$A cm^{-2}$
n	Elektronenkonzentration	cm^{-3}
N_{VC}	(effektive) Zustandsdichte	cm^{-3}
N_{DA}	Donator-/Akteptordichte	cm^{-3}
p	Löcherkonzentration	cm^{-3}
Q	Ladung	$C = As$
Q	Flächenbezogene Gummelzahlen	cm^{-2}
R	Rekombinationsrate	$cm^{-3} s^{-1}$
S	Swing	V
U	Nettokombinationsrate	$cm^{-3} s^{-1}$
v_p	Geschw. des Wellenmax.	